

## Prediction of *Brucella* *omp25* and BLS antigens epitopes and their interaction with MHC molecules in sheep by *in silico* methods

**Hashem Honar Haddadan**

PhD Candidate, Department of Animal Science, Faculty of Agriculture, Ferdowsi University of Mashhad, Mashhad, Iran. E-mail: hashem.honarhadadan@mail.um.ac.ir

**Mojtaba Tahmoorespur** 

\*Corresponding author. Professor, Department of Animal Science, Faculty of Agriculture, Ferdowsi University of Mashhad, Mashhad, Iran. E-mail: m\_tahmoorespur@yahoo.com

**Mohammad Hadi Sekhavati** 

Associate Professor, Department of Animal Science, Faculty of Agriculture, Ferdowsi University of Mashhad, Mashhad, Iran. E-mail: hadisekhavati@gmail.com

---

### **Abstract**

#### **Objective**

Brucellosis is a common disease between humans and livestock that has caused a great deal of damage to the livestock industry in recent years. One way to prevent this disease is to get a vaccine to immunize disease-prone herds. To produce a successful recombinant vaccine, factors such as: selecting the right adjuvant, selecting the right antigen and the right delivery system are very important. To this end, epitopes have recently been widely used in clinical research, biomedicine, and the production of recombinant vaccines. Surface proteins of this bacterium, including BLS and Omp25 proteins, have antigenic properties and play an important role in causing this disease. Due to the lack of effective vaccines, today the need to produce new and effective vaccines is felt more than ever. The aim of this study was to bioinformatically predict the epitopes of BLS and Omp25 genes of *Brucella* bacterium in order to introduce a suitable candidate for vaccine production.

#### **Materials and Methods**

For this purpose, SYFFPEITHI, PROPRED and IEDB servers were used to predict epitopes. Since the three-dimensional structure of the protein is required to investigate the interaction of antigens with cell surface receptors, in the next step, the predicted epitopes were modeled using the Pepfold 3 server. In addition, in order to evaluate the stability of the predicted structures and

to ensure the accuracy of the third structure of the peptides, molecular dynamics simulations were performed using GROMACS software version 2019 and in a duration of 10 nanoseconds. Then, the three-dimensional structure was obtained by modeling homology method and the docking study of the interaction between epitopes with sheep MHCII and MHCI cells was performed using Autodock vina software.

## Results

Then, in order to evaluate the stability of the complexes based on the results obtained from molecular docking, complexes with negative values of free binding energy were selected to perform molecular dynamics simulations. Finally, 8 peptides with better numbers were considered as suggested epitopes. The results obtained from molecular dynamics showed that the rmsd values for interleukin and interleukin bound to the polypeptide did not differ much in the two cases, so these results indicate that the activity of interleukin bound to the polypeptide did not change. The rmsf values also indicate the same stability in both proteins. Finally, the obtained results were evaluated in dynamic conditions in GROMACS software. The results of this study showed that in dynamic conditions, 4 predicted epitopes have high binding power to MHC class 1 and 2 receptors.

## Conclusions

In addition, docking and molecular dynamics results showed that the polypeptide predicted in this study could be used as a candidate polypeptide in the design of a recombinant vaccine against brucellosis. However, to confirm these results, additional and laboratory studies are needed.

**Keywords:** Brucellosis, Recombinant vaccine, Molecular dynamic, Epitope

**Paper Type:** Research Paper.

**Citation:** Honar Haddadan H, Tahmoorespur M, Sekhavati M.H (2021) Prediction of Brucella omp25 and BLS antigens epitopes and their interaction with MHC molecules in sheep by in silico methods. *Agricultural Biotechnology Journal* 13 (4), 19-34.

---

*Agricultural Biotechnology Journal* 13 (4), 19-34.

DOI: 10.22103/jab.2021.17658.1323

Received: August 18, 2020.

Accepted: September 16, 2020.

Publisher: Faculty of Agriculture and Technology Institute of Plant Production, Shahid Bahonar University of Kerman-Iranian Biotechnology Society.

© the authors



## پیش‌بینی اپی‌توب‌های آنتی‌ژن‌های BLS و Omp25 باکتری بروسلا و برهمکنش آن‌ها با مولکولهای MHC در گوسفند به روش بیوانفورماتیکی

### هاشم هنرحدادان

دانشجوی دکترا، گروه علوم دامی، دانشکده کشاورزی، دانشگاه فردوسی مشهد، هد، ایران. را یا نامه:  
hashem.honarhadadan@mail.um.ac.ir

مجتبی طهمورث پور 

\*نویسنده مسئول: استاد گروه علوم دامی، دانشکده کشاورزی، دانشگاه فردوسی مشهد، مشهد، ایران. رایانمه:  
m\_tahmoorespur@yahoo.com

محمدهادی سخاوتی 

دانشیار گروه علوم دامی، دانشکده کشاورزی، دانشگاه فردوسی مشهد. مشهد، ایران. رایانمه:  
hadisekhavati@gmail.com

تاریخ پذیرش: ۱۴۰۰/۰۶/۲۵ تاریخ دریافت: ۱۴۰۰/۰۵/۲۷

### چکیده

**هدف:** بیماری بروسلاوز یک بیماری مشترک بین انسان و دام بوده که در سال‌های اخیر خسارت‌های زیادی را به صنعت دامپروری وارد کرده است. یکی از راه‌های پیشگیری این بیماری تهیه واکسن است. برای تولید یک واکسن نوترکیب موفق عواملی از جمله، انتخاب یک آنتی‌ژن مناسب از اهمیت بالایی برخوردار می‌باشد. بدین منظور، اخیراً در تحقیقات بالینی، زیست پزشکی و تولید واکسن‌های نوترکیب از اپی‌توب‌ها در به طور گستردگی استفاده می‌شود. پروتئین‌های سطحی این باکتری از جمله پروتئین‌های BLS و OMP25، دارای ویژگی‌های آنتی‌ژنیک بوده و نقش مهمی در ایجاد این بیماری بازی می‌کنند. با توجه به عدم وجود واکسن‌های موثر، امروزه نیاز به تولید واکسن‌های جدید و کارآمد بیش از پیش احساس می‌شود. هدف از این مطالعه، پیش‌بینی بیوانفورماتیکی اپی‌توب‌های آنتی‌ژن‌های BLS و Omp25 باکتری بروسلا به منظور معرفی کاندید مناسب برای تولید واکسن بود.

**مواد و روش‌ها:** بدین منظور، جهت پیش‌بینی اپی‌توب‌ها، از سرور‌های SYFFPEITHI، PROPRED و IEDB استفاده شد. سپس ساختار سه بعدی به دست آمد. سپس مدلسازی اپی‌توب‌های پیش‌بینی شده با استفاده از سرور 3D Pepfold انجام

شد. به منظور بررسی پایداری ساختارهای پیش‌بینی شده و اطمینان از صحت ساختار سوم پیتیدها، شبیه سازی دینامیک مولکولی با استفاده از نرم افزار GROMACS در زمان ۲۰۱۹ و در مدت زمان ۱۰ نانوثانیه انجام شد. به منظور بررسی پایداری کمپلکس‌ها، بر اساس نتایج به دست آمده از داکینگ مولکولی، کمپلکس‌های با مقادیر منفی تر انرژی آزاد اتصال، جهت انجام شبیه سازی دینامیک مولکولی انتخاب شدند. در نهایت نتایج به دست آمده، در شرایط دینامیکی در نرم افزار گرومکس مورد بررسی قرار گرفت. بررسی استاتیک برهمنکنش بین ابی‌توب‌ها با مولکول‌های MHC II و I گوسفندی به کمک نرم افزار Autodock vina انجام شد.

**نتایج:** از بین نتایج به دست آمده از سرورهای مختلف، ابی‌توب‌هایی انتخاب شده اند که در بین نتایج همه سرورها مشترک و دارای بهترین پارامترها بودند. در نهایت، ۸ پیتید که عده‌های بہتری داشتند به عنوان ابی‌توب‌های پیشنهادی در نظر گرفته شدند. نتایج به دست آمده از دینامیک مولکولی نشان داد که مقادیر rmsd برای ایترلوکین و ایترلوکین متصل به پلی ابی‌توب در دو حالت تفاوت زیادی نداشتند، لذا این نتایج بیانگر این موضوع است که فعالیت ایترلوکین متصل به پلی ابی‌توب تغییر نمی‌یابد. مقادیر rmsf هم نشانگر پایداری یکسان در هر دو پروتئین می‌باشد. در نهایت نتایج این مطالعه نشان داد که در شرایط دینامیکی، ۴ ابی‌توب پیش‌بینی شده، دارای قدرت اتصال بالا به گیرنده‌های MHC کلاس ۱ و ۲ می‌باشند.

**نتیجه‌گیری:** علاوه بر این نتایج داکینگ و دینامیک مولکولی نشان داد که پلی ابی‌توب پیش‌بینی شده در این مطالعه، می‌تواند به عنوان یک پلی ابی‌توب کاندید در طراحی واکسن نوترکیب بر علیه بیماری بروسلوز مورد استفاده قرار گیرد. هرچند که برای تایید این نتایج، نیاز به انجام مطالعات تکمیلی و آزمایشگاهی می‌باشد.

**کلیدواژه‌ها:** بروسلوز، واکسن نوترکیب، دینامیک مولکولی، ابی‌توب

**نوع مقاله:** پژوهشی.

**استناد:** هنرحدادان هاشم، طهمورثپور مجتبی، سخاوتی محمدهدادی (۱۴۰۰) پیش‌بینی ابی‌توب‌های انتی ژن‌های omp25 و BLS باکتری بروسلزا و برهمنکنش آن‌ها با مولکولهای MHC در گوسفند به روش بیوانفورماتیکی. مجله بیوتکنولوژی کشاورزی ۱۳، ۳۴-۱۹.

Publisher: Faculty of Agriculture and Technology Institute of Plant Production, Shahid Bahonar University of Kerman-Iranian Biotechnology Society.

© the authors

## مقدمه

بیماری برو سلوز، یکی از شایع‌ترین بیماری‌های عفونی مشترک انسان و دام می‌باشد که سالانه بیش از ۵۰۰ هزار نفر در سرتاسر دنیا به آن مبتلا می‌شوند (Dean et al. 2012; Eini et al. 2012). این بیماری توسط گونه‌های مختلف از باکتری بروسلا به وجود می‌آید (Dean et al. 2012; Refai 2002). بروسلا یک باکتری گرم منفی و فاقد کپسول و اسپور است و قادر به آلوود کردن دامنه و سیعی از پستانداران می‌باشد (Pappas et al. 2005). تا کنون ۱۰ گونه از جنس بروسلا شناخته شده‌اند که عبارتند از : *B.ceti* , *B.incopinata* , *B.microti* , *B.suis* , *B.canis*,*B.ovis* ,*B.melitensis* ,*B.abortus* و *B.pinnipediali* می‌کنند ۲ گونه *B.melitensis* و *B.abortus* می‌باشند (Pappas et al. 2005) به ترتیب عامل اصلی بیماری بروسلوز در گاو و گوسفند است که باعث سقط جنین و ناباروری در حیوانات بالغ می‌شود (Corbel 2006). در این مطالعه این دو گونه از باکتری بروسلوز مورد بررسی قرار گرفتند. این بیماری قابل سرایت به انسان نیز می‌باشد و علائمی مانند تب، ورم مفاصل و ... را به دنبال دارد. با توجه به عدم وجود درمان‌های مناسب در دام، دام‌های آلوود به این باکتری بعد از تشخیص، کشتار می‌شوند. که این امر خود باعث ضررها اقتصادی فراوان به دامدار می‌شود (Pappas et al. 2005).

در دهه اخیر با توجه به اهمیت سلامت عمومی و آسیب‌های ناشی از این بیماری در صنعت دام، تلاش‌های زیادی برای کنترل و ریشه کن کردن این بیماری انجام شده است. یکی از راه‌های پیشگیری این بیماری تهیه واکسن به منظور ایمن سازی گله‌های مستعد بیماری است. از طرف دیگر، حیوانات اهلی به عنوان منبع مسمومیت مواد غذایی انسان شناخته شده‌اند (Ahsani et al. 2011). برای کاهش یا از بین بردن این خطر، باید راهکارهایی برای جلوگیری از ورود داروهای ضدعفونی کننده به زنجیره غذایی تدوین شود (Zarrabi et al. 2020). یکی از این راه‌ها شناسایی این عوامل بیماری‌زا و تهیه واکسن علیه آن‌ها است (Zarrabi et al. 2020). امروزه تهیه واکسن نوترکیب با روش‌های مهندسی ژنتیک، گام بزرگی در راه رسیدن به این هدف می‌باشد. به گونه‌ای که در دهه اخیر تولید یک واکسن موثر برای کنترل و حذف این بیماری یک چالش اصلی برای دانشمندان این حوزه محسوب می‌شود (Zowghi & Ebadi 1982; Mirnejad et al. 2013). برای تولید یک واکسن نوترکیب موفق عواملی از جمله : انتخاب یک اجوانت (عامل کمک کننده) مناسب، انتخاب یک آنتی ژن مناسب و یک سیستم تحويلی مناسب از اهمیت بالایی برخوردار می‌باشند (Yang et al. 2013; Dorneles et al. 2015). بدین منظور، اخیراً در تحقیقات بالینی، زیست‌پزشکی و تولید واکسن‌های نوترکیب از اپی‌توب‌ها به طور گستردۀ ای استفاده می‌شود. امروزه آنتی ژن‌های مهم باکتری بروسلوز شناسایی شده‌اند که دو مورد از مهم ترین آن‌ها عبارتند از آنتی ژن‌های OMP25 و BLS.OMP25 در زمان حمله باکتری به سلول میزبان، به عنوان پروتئین اولیه توسط بروسلا آزاد می‌شود (Jubier-Maurin et al. 2001). این پروتئین در اتصال و حمله به سلول‌های میزبان نقش دارد. توالی ژنی پروتئین OMP25 در پستانداران بسیار محافظت شده است. بنابراین، این پروتئین یک عامل مهم در بروز بیماری بروسلوز به حساب می‌آید (Edmonds et al. 2001; Edmonds et al. 2002).

BLS نیز آنتی ژن دیگری است که ویژگی های اینمونوتنیک داشته و در بین گونه های مختلف محافظت شده است. این آنتی ژن یک اجوانست موثر برای اتصال کوالاتی به آنتی ژن های خارج سلولی می باشد (Cassataro et al. 2005).

تهیه و تولید واکسن در گذشته نیازمند انجام آزمایش های اینمونولوژیک و بیوشیمیای متعددی بود که علاوه بر گران بودن، وقت گیر و برگشت ناپذیر نیز بوده است. اما امروزه با توجه به توسعه روش های بیوانفورماتیک، امکان مهندسی پروتئین، بررسی دقیق و معرفی کاندید مناسب برای تهیه واکسن با صرف هزینه و وقت کمتر فراهم شده است. از طرفی، کمپلکس اصلی سازگاری بافتی (MHC) برای تعداد زیادی از ژن ها به خوبی شنا سایی شده است و تنوع آلتی آن در بیشتر مهره داران گزارش شده است (Ruzina et al. 2010). این ژن ها شامل سه کلاس هستند که از آن ها ژن های کلاس I و II بسیار چندشکل هستند (Baghizadeh et al. 2009; Ruzina et al. 2010). ژن های بسیار چندشکل کمپلکس اصلی سازگاری بافتی نقش اساسی در تشخیص ایمن پاتوژن ها و پارازیت ها بازی می کنند (Baghizadeh et al. 2009). با توجه به مطالب ارائه شده، هدف از این مطالعه، پیش بینی مهمترین اپی توب های موجود در آنتی ژن های OMP25 و BLS باکتری بروسلا و بررسی اتصال اپی توب های پیش بینی شده با استفاده از روش های استاتیک و دینامیک مولکولی به منظور معرفی کاندیدی برای تولید واکسن می باشد.

## مواد و روش ها

**گرفتن توالی پروتئین ها و پیش بینی اپی توب ها:** توالی آنتی ژن های OMP25 و BLS از پایگاه داده NCBI جمع آوری شد. به منظور پیش بینی اپی توب های مهم این دو آنتی ژن، از سرور های SYFFPEITHI PROPRED (http://www.syfpeithi.de/bin/MHCServer.dll/EpitopePrediction.htm) آنلайн پیش بینی اپی توب هستند استفاده شد. تمامی این سرورها نواحی که ماهیت اپی توبی دارند را پیش بینی می کنند و تفاوت آن ها فقط در الگوریتم شناسایی است نتایج به دست آمده از هر سرور، به طور جداگانه مورد بررسی قرار گرفت و انتخاب بهترین اپی توب ها با استفاده از پارامترهای هر سرور انجام شد و اپی توب هایی که در بین تمامی سرورها مشترک بودند و طبق رتبه بندی ارائه شده در هر سرور رتبه بالاتری داشتند انتخاب شدند.

**پیش بینی ساختار سه بعدی:** از آنجایی که به منظور بررسی بر همکنش آنتی ژن ها با رسپتورهای سطح سلول، نیاز به ساختار سه بعدی پروتئین می باشد، در مرحله بعد، مدلسازی اپی توب های پیش بینی شده با استفاده از سرور Pepfold 3 انجام شد. علاوه بر این، به منظور بررسی پایداری ساختارهای پیش بینی شده و اطمینان از صحت ساختار سوم پیتیدها، شبیه سازی دینامیک مولکولی با استفاده از نرم افزار GROMACS ورژن ۲۰۱۹ و در مدت زمان ۱۰ نانوثانیه انجام شد.

با توجه به عدم وجود ساختار سه بعدی ر سپتور های MHC I و II گو سفندي، به کمک روش همولوژي مدلینگ و با استفاده از سرور Swiss model ساختارهای فضایی مربوط به این رسپتورها شبیه سازی شدند.

**داکینگ مولکولی:** در مرحله بعد به منظور بررسی بر همکنش بین اپی توپ های پیش بینی شده با رسپتورهای MHC II و MHC I گو سفندي در شرایط استاتیک، از نرم افزار Autodock vina(Trott & Olson 2010) استفاده شد و داکینگ مولکولی بین پیتیدها و رسپتورها در شرایط استاتیک انجام شد.

سپس، به منظور بررسی پایداری کمپلکس ها، بر اساس نتایج به دست آمده از داکینگ مولکولی، کمپلکس های با مقادیر منفی تر انرژی آزاد اتصال، جهت انجام شبیه سازی دینامیک مولکولی انتخاب شدند.

**شبیه سازی دینامیک مولکولی:** در بخش شبیه سازی دینامیک مولکولی کمپلکس ها، از نرم افزار GROMACS

ورژن ۲۰۱۹ استفاده شد و هر یک از کمپلکس ها به طور جداگانه به مدت ۱۰ نانوثانیه در دمای ۵۰ درجه شبیه سازی شدند. به منظور کاهش خطأ، فرآیند شبیه سازی برای هر کمپلکس با سه بار تکرار انجام شد.

**طراحی پلی اپی توپ:** در نهایت نیز به منظور بررسی ساختار پلی اپی توپی متصل به ایترولوکین گو سفندي، ساختار به هم متصل بهترین کمپلکس ها با استفاده از سرور AIDA (<https://aida.godziklab.org>) پیش بینی شد و شبیه سازی دینامیک مولکولی نیز مشابه مراحل قبل صورت گرفت. سپس نتایج به دست آمده به منظور معرفی کاندید مناسب برای تولید واکسن، مورد تجزیه و تحلیل قرار گرفت.

## نتایج و بحث

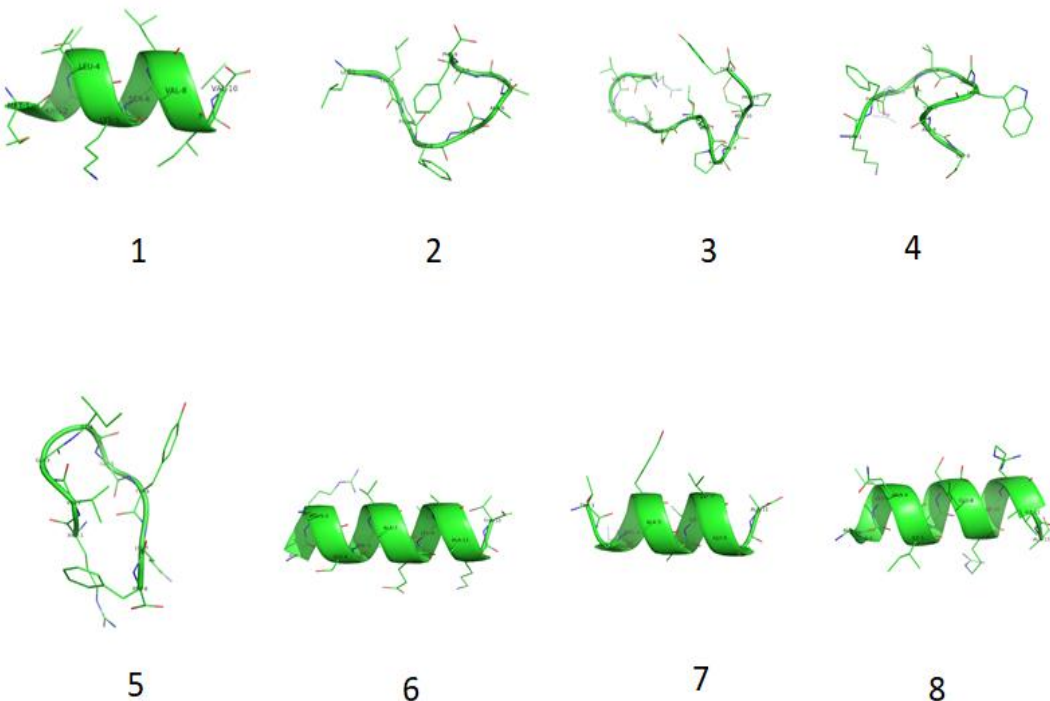
پس از اینکه توالی آنتی زن های OMP25 و BLS از پایگاه داده NCBI جمع آوری شد، اپی توپ های مربوط به این دو آنتی زن با استفاده از سرورهای مختلف، به صورت جداگانه مورد ارزیابی قرار گرفت. خروجی سرورها بدین صورت است که توالی های پیشنهادی و پیش بینی شده به عنوان اپی توپ را همراه با امتیازی که خود سرور محاسبه کرده است ارائه می کند. از بین نتایج به دست آمده از سرورهای مختلف، اپی توپ هایی انتخاب شده اند که در بین نتایج هم ه سرورها مشترک و دارای بهترین پارامترها و بالاترین رتبه ها بودند. انتخاب بدین صورت انجام شد که در ابتدا اپی توپ های مشترک انتخاب شدند و در نهایت از بین اپی توپ های مشترک، آن هایی که در لیست رتبه بندی دارای بالاترین امتیاز بودند انتخاب شدند. بر این اساس امتیازی که توسط سرورهای SYFPEITHI ، Propred ۱ در نظر گرفته شده بزرگترین عدد برای اپی توپ احتمالی در میان سایر اپی توپ ها است، اما روش امتیازدهی در سرور IEDB به گونه ای است که هر چه عدد کمتر باشد، اپی توپ انتخابی دارای ارزش بالاتری است. انتخاب بهترین اپی توپ ها با استفاده از همپوشانی نتایج سرورهای مختلف، و با در نظر گرفتن پارامترهای مربوطه، صورت گرفت. در جدول ۱ توالی اپی توپ های پیش بینی شده آمده است.

جدول ۱. توالی اپی‌توب‌های پیش‌بینی شده

Table 1. Sequence of predicted epitopes

Sequence	توالی	Name	نام	Epitope's ID	شماره اپی‌توب
MRTLKSLVIV	۱ام بی ۲۵	Omp25	۱ام بی ۲۵	1	
LLPFSATAF	۱ام بی ۲۵	Omp25	۱ام بی ۲۵	2	
RVGYDLNPVMPY	۱ام بی ۲۵	Omp25	۱ام بی ۲۵	3	
KFRVGWTAG	۱ام بی ۲۵	Omp25	۱ام بی ۲۵	4	
RVGIGYKF	۱ام بی ۲۵	Omp25	۱ام بی ۲۵	5	
ARKSFVAELAAKT	بی ال اس	BLS	بی ال اس	6	
TGRYAAIVGAA	بی ال اس	BLS	بی ال اس	7	
AALQIVSERSRIA	بی ال اس	BLS	بی ال اس	8	

تا کنون چندین مطالعه با رویکردهای محا سباتی، اپی‌توب‌های آنتی‌ژن مربوط به باکتری برو سلا را پیش‌بینی کرده و از این نتایج در مطالعه تجربی با هدف طراحی واکسن مبتنی بر اپی‌توب استفاده کرده‌اند (Simon et al. 2010; Tahmoorespur et al. 2016). در این مطالعه، پس از اینکه بخش‌های آمینواسیدی که بیشترین احتمال اپی‌توب بودن را برای MHC کلاس ۱ و ۲ داشتند توسط سرورها مشخص شد، بر اساس امتیاز ۸ پیتید که عدددهای بهتری داشتند (جدول ۱) به عنوان اپی‌توب‌های پیشنهادی در نظر گرفته شدند. سپس ساختار فضایی اپی‌توب‌های انتخاب شده با سرور ۳ Pepfold پیش‌بینی شد. سپس برای ارزیابی دقت پیش‌بینی‌ها، و انتخاب صحیح ترین ساختارهای سه بعدی، تمامی ساختارهای پیش‌بینی شده در شرایط دینامیکی با استفاده از نرم افزار گرومکس مورد ارزیابی قرار گرفت و بهترین ساختارها برای انجام داکینگ، انتخاب شدند (شکل ۱). همانطور که در شکل ۱ مشخص است، ساختارهای سوم اپی‌توب‌ها بیشتر به صورت کویل و ماریچ آلfa می‌باشد. پیش از این نیز در مطالعات نشان داده شده است که مناطق کویل بیشتر در نواحی سطح پروتئین قرار دارند، جایی که برای اتصال سطح به لیگاندها لازم است تا ساختار سطحی ایجاد شود و در این مناطق، احتمال تشکیل اپی‌توب زیاد است (Li et al. 2013). به منظور بررسی بر همکنش بین اپی‌توب‌های پیش‌بینی شده با رسپتورهای MHCII و MHCI گوسفتندی در شرایط استاتیک، پس از انجام داکینگ مولکولی، نتایج به دست آمده به صورت جداگانه مورد تجزیه و تحلیل قرار گرفتند. بر این اساس، نتایج به دست آمده از نظر میزان انرژی اتصال و موقعیت اتصال مورد بررسی قرار گرفتند که نتایج در جدول ۲ آورده شده است.



شکل ۱. ساختار سه بعدی از اپی توب های پیش بینی شده. اپی توب های ۱، ۶، ۷ و ۸ دارای ساختار مارپیچ آلفا و سایر اپی توب ها دارای ساختار کویل می باشند

**Figure 1. Three-dimensional structure of predicted epitopes. Epitopes 1, 6, 7 and 8 have an alpha helix and other epitopes have a coil structure**

بر اساس داده های داکینگ مولکولی، ۸ کمپلکس (۴ تا از کمپلکس های مرتبط با MHC-1 و ۴ تا از کمپلکس های مرتبط با MHC-2) با مقادیر منفی تر انرژی آزاد اتصال جهت انجام شبیه سازی دینامیک مولکولی انتخاب شد. از MHC1 کمپلکس های ۳ و ۴ و ۵ و ۷ و از MHC2 کمپلکس های ۲ و ۶ و ۸ انتخاب و در بخش شبیه سازی پایداری کمپلکس بررسی شدند. نتایج به دست آمده از جدول ۲ نشان داد که اپی توب های پیش بینی شده از قدرت بالایی برخوردار هستند. که این امر به دلیل پایین بودن انرژی اتصال می باشد که پیش از این نیز در مطالعات مختلف به آن اشاره شده است (Shen et al. 2013; Agarwal & Mehrotra 2016). در بخش شبیه سازی دینامیکی، کمپلکس ها به مدت ۱۰ نانو ثانیه در دمای ۵۰ درجه شبیه سازی شدند. انتخاب دمای بالاتر به علت کمک به جدا شدن اپی توب از گیرنده است و اپی توب هایی که در این شرایط همپناه متصل به گیرنده باقی بمانند دارای اتصال قوی تری هستند. از پارامتر RMSD جهت تخمین میزان پایداری اتصال بین اپی توب و کمپلکس استفاده شد. جذر میانگین مربع انحرافات یا همان RMSD نسبت به ساختار اولیه در طول شبیه سازی یکی از شاخص های مهم در دینامیک مولکولی مدل ها می باشد. در واقع RMSD، میزان انحراف موقعیت ذرات نسبت به موقعیت اولیه را در هر نقطه از زمان نشان می دهد. در حالت تعادل مقدار تغییرهای RMSD بایستی کم تر از ۲ آنگستروم باشد. هر قدر RMSD برای یک یا گروهی

از اتمها در طول شبیه سازی بیشتر باشد، میزان تغییرهای ساختاری آنها در طی شبیه سازی بیشتر خواهد بود. به عبارت دیگر میزان شبیه نمودار RMSD نشان دهنده پایداری مدل در طول شبیه سازی دینامیکی است. هرچه شبیب به صفر نزدیک تر باشد مدل شبیه سازی شده پایدارتر است و هرچه شبیب به تدریج افزایش یابد یا نو سان زیادی داشته باشد مدل ناپایدارتر خواهد بود (Carugo & Pongor 2001).

## جدول ۲. انرژی اتصال مربوط به نتایج داکینگ مولکولی

Table 2. Binding energy related to molecular docking results

شماره اپی توپ	انرژی اتصال Kcal/mol	کلاس MHC
Epitops ID	Binding energy	MHC classes
1	-6.7	1
2	-6.4	1
3	-9.5	1
4	-8.1	1
5	-9.2	1
6	-7.2	1
7	-7.5	1
8	-7.0	1
1	-6.7	2
2	-9.0	2
3	-7.0	2
4	-9.2	2
5	-9.2	2
6	-7.4	2
7	-7.6	2
8	-7.9	2

نمودارهای RMSD یکی برای اپی توپ تنهای و یکی برای کل receptor مورد بررسی قرار گرفت. در مواردی که Van Der Spoel et al. RMSD برای هم اپی توپ و هم گیرنده در یک حدود باشند، نشانگر پایداری کمپلکس خواهد بود (2005). اگر RMSD برای اپی توپ خیلی زیاد شود نشان می دهد اپی توپ در حال کنده شدن از گیرنده است. همچنین در تجزیه و تحلیل نتایج، از محاسبه‌ی تعداد پیوندهای هیدروژنی بین اپی توپ و گیرنده به عنوان یک شاخص از پایداری کمپلکس استفاده شد.

کم شدن تعداد پیوندهای هیدروژنی نشانگر ناپایداری کمپلکس مربوطه است (Chikalov et al. 2011). با توجه به مقادیر بدست آمده از مقدار RMSD و پیوندهای هیدروژنی در کلاس MHC1 اپیتوب‌های ۳ و ۴ دارای کمترین RMSD و کمترین کاهش در پیوندهای هیدروژنی بوده اند و در کلاس MHCII نیز اپیتوب‌های ۵ و ۸ همین شرایط را داشته‌اند (شکل ۲).

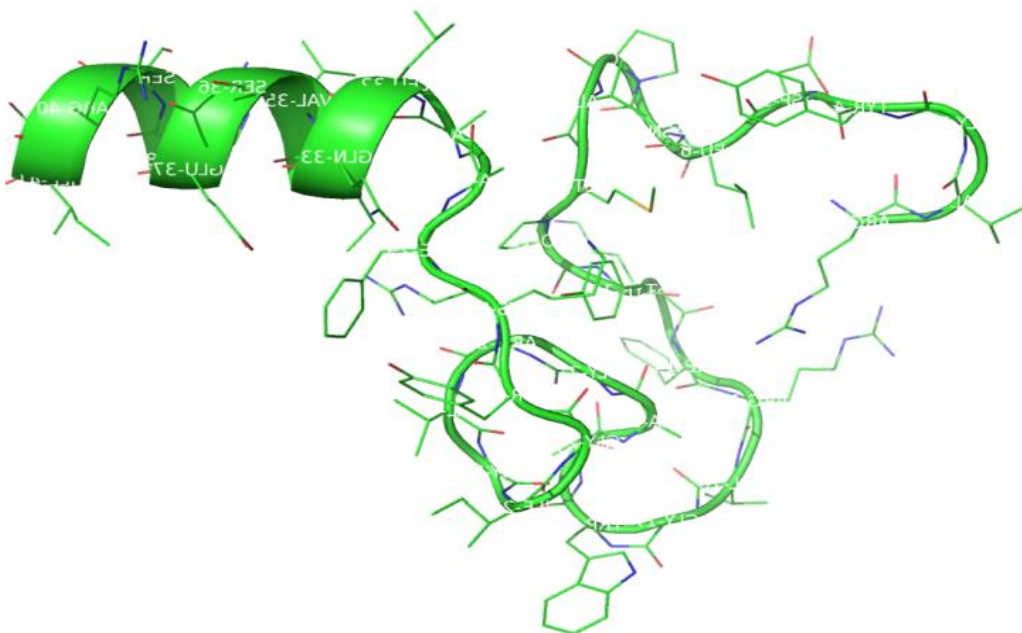


شکل ۲. نمودار RMSD و پیوند هیدروژنی به بدست آمده از نتایج دینامیک مولکولی

**Figure 2. RMSD diagram and hydrogen bond obtained from molecular dynamics results**

بر همین اساس این اپیتوب از مجموع ۱۶ اپیتوب ابتدایی (۸ اپیتوب برای هر یک از کلاس‌های مولکول MHC) به منظور ایجاد پلی اپیتوب انتخاب شدند. به منظور تولید یک پروتئین کایمر، پلی اپیتوب به بدست آمده (شکل ۳) به انتهای N از ایترلوکین گوسفندی متصل گردید. این کار با سرویس تحت وب AIDA صورت گرفت. به منظور بررسی تاثیر اتصال پلی اپیتوب به ایترلوکین، مجدداً از شبیه سازی دینامیک مولکولی طبق شرایط قبل استفاده شد. یک بار ایترلوکین تنها و یک بار کایمر (شامل ایترلوکین متصل به پلی اپیتوب) شبیه سازی شد و نتایج هر دو مورد به طور کامل مقایسه گردید. نتایج به بدست

آمده از دینامیک مولکولی نشان داد که مقادیر RMSD برای اینترلوکین و اینترلوکین متصل به پلی اپی توب در دو حالت تفاوت زیادی نداشت، لذا این نتایج بیانگر این موضوع است که فعالیت اینترلوکین متشکل به پلی اپی توب تغییر نمی‌یابد (& Carugo & Hildebrand et al. 2019). مقادیر RMSF هم نشانگر پایداری یکسان در هر دو پروتئین می‌باشد (Pongor 2001).  
شکل ۴).

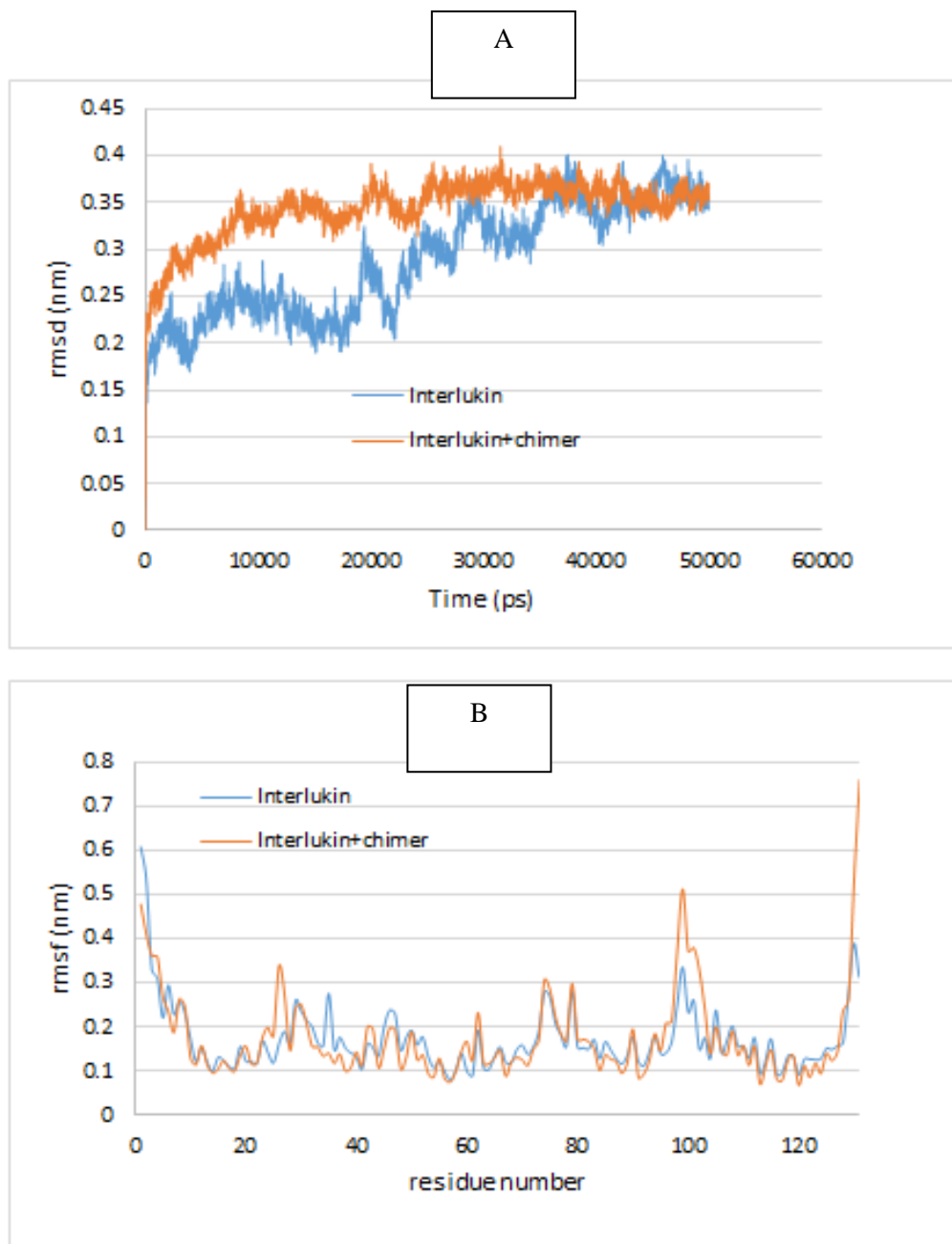


شکل ۳. ساختار پلی اپی توپ پیش پینی شده

### **Figure 3. Predicted polyepitope structure**

**نتیجه‌گیری:** نتایج بدست آمده از این مطالعه نشان می‌دهد که پلی اپی توب پیش‌بینی شده از قابلیت بالایی برای تولید واکسن علیه باکتری بروسل‌لا برخوردار است و کاندید مناسبی می‌باشد، هرچند که برای تایید این نتایج، نیاز به انجام مطالعات تکمیلی و آزمایشگاهی، می‌باشد.

**سپا سگزاری:** از معاونت محترم پژوهشی دانشگاه فردوسی مشهد به خاطر حمایت مالی و همکاری در اجرای پژوهش حاضر سپا سگزاری می‌شود. نگارندگان بر خود لازم/فرض می‌دانند از خانم مرجان از غنیمتی به خاطر مطالعه متن مقاله حاضر و ارائه نظرهای ارزشمند سپاسگزاری نمایند.



شکل ۴. نتایج دینامیک مولکولی اینترلوکین و اینتلوقین متصل به پلی اپی توب. شکل A نمودار RMSD و شکل B نمودار RMSF می باشد

**Figure 4. Results of molecular dynamics of interleukin and interleukin attached to polyepitope. Figure A is the RMSD diagram and Figure B is the RMSF diagram**

## References

- Agarwal S, Mehrotra RJJC (2016) An overview of molecular docking. *JSM Chem* 4(2), 1024-1028.
- Ahsani M, Bafti MS, Esmailizadeh A et al. (2011) Genotyping of isolates of Clostridium perfringens from vaccinated and unvaccinated sheep. *Small Rumin Res* 95, 65-69.
- Baghizadeh A, Bahaaddini M, Mohamadabadi M et al. (2009) Allelic variations in exon 2 of Caprine MHC class II DRB3 gene in Raeini Cashmere goat. *Am-Eurasian J Agric Environment Sci* 6, 454-459.
- Carugo O, Pongor S (2001) A normalized root-mean-square distance for comparing protein three-dimensional structures. *Prot Sci* 10, 1470-1473.
- Cassataro J, Estein SM, Pasquevich KA et al. (2005) Vaccination with the recombinant Brucella outer membrane protein 31 or a derived 27-amino-acid synthetic peptide elicits a CD4+ T helper 1 response that protects against *Brucella melitensis* infection. *Infect Immun* 73, 8079-8088.
- Chikalov I, Yao P, Moshkov M et al. (2011) Learning probabilistic models of hydrogen bond stability from molecular dynamics simulation trajectories. *BMC Bioinformatic* 12, 1-6.
- Corbel MJ (2006) Brucellosis in humans and animals. WHO.
- Dean AS, Crump L, Greter H et al. (2012) Global burden of human brucellosis: a systematic review of disease frequency. *PLoS Negl Trop Dis* 6, e1865.
- Dorneles EM, Sriranganathan N, Lage AP (2015) Recent advances in *Brucella abortus* vaccines. *Veterinary Res* 46, 76.
- Edmonds M, Cloeckaert A, Hagius S et al. (2002) Pathogenicity and protective activity in pregnant goats of a *Brucella melitensis* Δomp25 deletion mutant. *Res Veterin Sci* 72, 235-239.
- Edmonds MD, Cloeckaert A, Booth NJ et al. (2001) Attenuation of a *Brucella abortus* mutant lacking a major 25 kDa outer membrane protein in cattle. *Am J Vet Res* 62, 1461-1466.
- Eini P, Keramat F, Hasanzadehhoseinabadi M (2012) Epidemiologic, clinical and laboratory findings of patients with brucellosis in Hamadan, west of Iran. *J Res Health Sci* 12, 105-108.

Franco MP ,Mulder M, Gilman RH et al. (2007) Human brucellosis. Lancet Infect Dis 7, 775-786.

Guerra H (2007) The brucellae and their success as pathogens. Crit Rev Microbiol 33, 325-331.

Hildebrand PW, Rose AS, Tiemann JK (2019) Bringing molecular dynamics simulation data into view. Trends Biochem Sci 44, 902-913.

Jubier-Maurin V, Boigegrain R-A, Cloeckaert A et al. (2001) Major outer membrane protein Omp25 of *Brucella suis* is involved in inhibition of tumor necrosis factor alpha production during infection of human macrophages. Inf Immun 69, 4823-4830.

Li Y, Liu X, Zhu Y et al. (2013) Bioinformatic prediction of epitopes in the Emy162 antigen of *Echinococcus multilocularis*. Exp Ther Med 6, 335-340.

Mirnejad R, Piranfar V, Mortazavi SM et al. (2013) A duplex PCR for rapid and simultaneous detection of *Brucella* spp. in human blood samples. Asian Pac J Trop Med 6, 453-456.

Pappas G, Akritidis N, Bosilkovski M et al. (2005) Medical Progress. New Eng Jou of Med 352, 2325-2336.

Refai M (2002) Incidence and control of brucellosis in the Near East region. Veter Micr 90, 81-110.

Ruzina M, Shtyfurko T, Mohammadabadi M et al. (2010) Polymorphism of the BoLA-DRB3 gene in the Mongolian ,Kalmyk, and Yakut cattle breeds. Russ J Genet 46, 456-463.

Shen M, Zhou S, Li Y et al. (2013) Discovery and optimization of triazine derivatives as ROCK1 inhibitors: molecular docking, molecular dynamics simulations and free energy calculations. Mol Biosyst 9, 361-374.

Simon GG, Hu Y, Khan AM et al. (2010) Dendritic cell mediated delivery of plasmid DNA encoding LAMP/HIV-1 Gag fusion immunogen enhances T cell epitope responses in HLA DR4 transgenic mice. Plos One 5, e8574.

Tahmoorespur M, Sekhavati MH, Yousefi S et al. (2016) In silico analysis of Omp25 and BLS *Brucella melitensis* antigens for designing subunit vaccine. Arch Razi Inst 71, 35-42.

Trott O, Olson AJ (2010) AutoDock Vina: improving the speed and accuracy of docking with a new scoring function, efficient optimization, and multithreading. J Comput Chem 31, 455-461.

Van Der Spoel D, Lindahl E, Hess B et al. (2005) GROMACS: fast, flexible, and free. *J Comput Chem* 26, 1701-1718.

Yang X, Skyberg JA, Cao L et al. (2013) Progress in Brucella vaccine development. *Front Biol* 8, 60-77.

Zarrabi A, Alipoor Amro Abadi M, Khorasani S et al. (2020) Nanoliposomes and tocosomes as multifunctional nanocarriers for the encapsulation of nutraceutical and dietary molecules. *Mol* 25, 638.

Zowghi E, Ebadi A (1982) Typing of Brucella strains isolated in Iran. *Arch Razi Inst* 33, 109-114.